

시각 장치를 이용한 직물 결합 검사에 관한 연구

정 계현, 고 명삼, 이 삼육, 이 범희
서울대학교 공과대학 제어계측공학과

A Study on The Visual Inspection of Fabric Defects

Kye Hyun Kyung, Myoung Sam Ko, Sang Uk Lee, Bum Hee Lee
Dept. of Control & Instrumentation Eng. College of Engineering.
Seoul National University

• ABSTRACT •

This paper describes an automatic visual inspection system for fabric defects based on pattern recognition techniques. The inspection for fabric defects can be separated into three sequences of operations which are the detection of fabric defects, the classification of figures of fabric defects, and the classification of fabric defects. Comparing projections of defect-detected images with the predefined complex, the classification accuracy of figures of fabric defects was found to be 95.3 percent. Employing the Bayes classifier using cluster shade in SGIDM and variance in decorrelation method as features, the classification accuracy of regional figure defects was found to be 82.4 percent. Finally, some experimental results for line and dispersed figures of fabric defects are included.

1. 서 론

직물 생산 공정에서 직물 결합의 발견 및 분류 작업은 반복적이면서도 숙련성을 필요로하는 복잡한 작업으로 국내에서는 전작업이 숙련공에 의해 수행되고 있어 일관성과 실뢰성이 걸여를 수반한다.

본 연구에서는 이와 같은 문제점을 해결하기 위하여 컴퓨터 비전 기술과 패턴 인식의 방법을 사용하여 직물 결합 검사를 수행하였다.

본 연구에서 직물 결합 검사는 계층 구조에 의한 패턴 분류(pattern classification) 기법으로 수행하였는데 그 구조는 그림1.과 같다. 즉 먼저 직물 결합을 검출하고, 검출된 결합을 그 결합의 형태에 따른 분류(classify)한 뒤, 마지막으로 결합의 종류를 판정하는 방법이다. 직물 결합의 형태는 수직선(vertical line) 형태, 수평선(horizontal line) 형태, 면(region) 형태 및 흩어진(dispersed) 형태의 네 종류로 분류하였다.

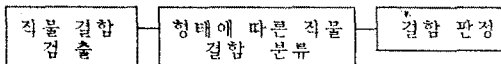


그림1. 직물 결합 검사 계층 구조

직물 결합 검출은 직물이 영상 처리 측면에서 고정된 texture이므로 texture 해석 방법으로 수행하였다.[1] 즉, spatial gray level dependence method(SGLDM)[2], generalized co-occurrence matrix(GCM)를 사용한 texture 해석 방법[3], Law의 texture 측정 방

법[4], decorrelation 방법[5] 등의 컴퓨터 비전 기법을 직물 결합에 적용하여 학습(learning)에 의해 직물 결합 검사에 유용한 알고리즘을 찾고, 그 알고리즘을 이용하여 각 window로부터 추출한 feature 값이 정규 분포를 갖는다는 가정 하에서 간단하면서도 효율적인 패턴 인식 방법으로 직물 결합을 검출하였다. 검출된 결합의 형태에 따른 분류는 결합의 검출이 모두 이루어진 영상에서 결합이 포함되었다고 판단된 window 영역에는 '1'을 할당하고, 결합이 포함되지 않은 영상 직물로 판단된 window 영역에는 '0'을 할당하여 업어진 이진 평면을 X와 Y축으로 부사시켜 휴리스틱(heuristic) 한 방법으로 수행하였다.[6]

마지막으로 각 결합의 형태 내에서 직물 결합의 결정은 다음의 세 가지로 나누어 수행하였다. 첫째, 면 형태의 분류는 직물 결합 검출에 사용한 feature와 Bayes 분류기를 사용하여 수행하였으며, 두 번째, 흩어진 형태의 분류는 형태에 따른 결합 분류와 같은 방법으로 수행하였다. 마지막으로 수직선 형태와 수평선 형태의 분류는 이 형태의 결합들이 외연상으로는 분류가 극히 힘들어 영상 처리 방법은 이 형태의 결합을 분류하는데 부적당한 것으로 판단되었다.

2. 형태에 따른 직물 결합 분류

직물의 결합은 그 형태에 따라 수직선 형태, 수평선 형태, 면 형태, 그리고 흩어진 형태의 네 종류로 분류될 수 있다. 그림2.는 각 형태에 따른 직물 결합의 예이다.

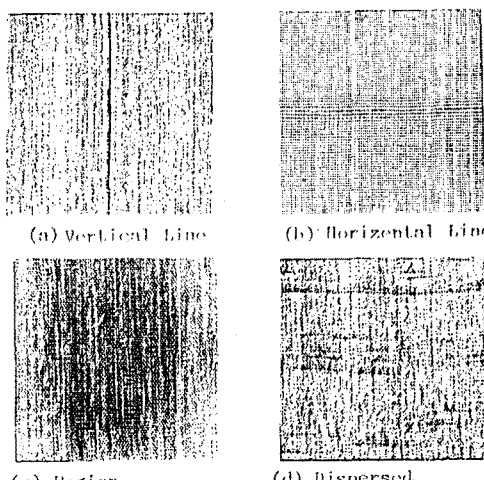


그림2. 각 형태에 따른 직물 결합

시각 장치를 이용한 직물 결합 검사에 관한 연구

표 1. 직물 결합 형태에 따른 부사(projection)의 특징 비교

° : don't care

High : 투사가 가질 수 있는 최대 크기

형태에 따른 직물 결합의 분류는 결합의 겹침이 모두 이루어진 한 영상에서 결합이 포함되었다고 판단된다. window 영역에는 '1'을 할당하고, 영상 직물로 판단된다. window 영역에는 '0'을 할당하여 얻어진 영상면이 binary plane을 X와 Y축으로 투사(projection) 시켜 결과를, 각 결합 형태에 따른 X와 Y축의 투사 형태를 표시(representation)하는 일종의 predicate인 complex에 대입하여 수행하였다. 투사 형태를 표현하는 complex는 다음의 여섯 가지 특징들로 구성된다.

X_{pmax} : X축 투사의 최대 크기 (magnitude)

$Y_{p\max}$: Y_p 축 투사의 최대

X#localmax : 크기가 2 이상인 X축 부사 갯수

Y#localmax : 크기 2 이상인 Y축 브사 갯수

X# group : X축 투사 중 단절된 그룹(group) 수

Y# group : Y축 투사 중 단절된 그룹(group) 수

표 1. 우 각 결합의 형태에 따른 부사의 여섯 부정률
의 성질을 나타내며 이 표로부터 고한 결합 형태를 표
현하는 complex는 다음과 같이 정의된다. 이 때 com-
plex는 AND의 연결로 이루어진다.

- 수직선(vertical line) 형 결합 ;
 $[X_{\max}=\text{High}] [Y_{\max}=\text{Less than or equal to } 2]$
 $[X_{\#local\max}=\text{Less than or equal to } 2]$
 - 수평선(horizontal line) 형 결합 ;
 $[X_{\max}=\text{Less than or equal to } 2] [Y_{\max}=\text{High}]$
 $[Y_{\#local\max}=\text{Less than or equal to } 2]$
 - 범(regional) 형 결합 ;
 $[X_{\max} \quad Y_{\max} \quad X_{\#local\max} \quad Y_{\#local\max}=\text{More}$
 $\text{than or equal to } 2] [X_{\# group=1}] [Y_{\# group=1}]$
 $[X_{\max}/Y_{\max}=\text{More than } 2/\text{High}] [Y_{\max}/X_{\max}=\text{More than } 2/\text{High}]$
 - 그 외의(dispersed) 형 결합 ;
otherwise

결합의 형태 분류는 직물 결합의 검출 실험에 공통 방법의 검출에 decoration을 보인 feature로하여 결합 검출 S(0,2)를 위한 오판(misclassification) 효율은 그림3.와 표2.는 43%이다. 그림3.는 이와 표2.는 나타내며, 표2.는

$x_{\text{pmax}} = 5$

3. 관찰하고 드러난 점

영역역관련된되도록으로요하나단단히판매하는것입니다.

그림 3 혼태에 따른 지문 경화 분류의 예

표 2. 혈액에 따른 질물 결합 분류 결과

computer classification					
	vertical line	horizontal line	region	dispersed	total
vertical line	9	0	0	1	9
horizontal line	0	7	0	1	8
region	0	0	17	0	17
dispersed	0	0	0	8	8
total	9	7	17	10	43

개의 결합을 가지고 수행한 형태에 따른 작품 결합 분류 실형 결과이다. 표2.로부터 약 95.3%의 정확도로 작품 결합 형태가 분류됨을 볼 수 있다.

3. 직물 결합 분류

개중 구조에 의한 직물 결합 검사의 마지막 단계는 검출된 결합을 형태에 따른 네 가지 부류—수직선형, 수평선형, 면형, 흩어진 형 —로부터 구체적인 각 결합으로 결정하는 일이다.

3.1 선(수직선, 수평선) 형 결합의 분류

이들 두 형태의 각 종류의 결합들은 그림4.에 나타난 것과 같이 첫째, 같은 종류의 결합들도 결합의 정도에 따라 그 형태나 크기가 변하고 둘째, 서로 다른 종류의 결합들 사이에 많은 유사성을 보여 외견상으로는 그 분류가 극히 힘들어 영상 처리 방법으로는 그 분류가 부적당한 것으로 판단된다.

3.2 면형 결합의 분류

면형 결합의 분류는 패턴 인식 방법으로 수행하였다.

면형 결합 분류에 사용한 feature는, 이 형태의 각 결합들이 결합의 밤기 분포와 결합 내의 직물 조직에서 차이를 갖게되며, 이와 같은 특징들은 직물 결합 검출에서 사용한 SGLDM과 decorrelation 방법의 각 feature들에 의해 묘사될 수 있으므로 이 두 방법의 여러 feature들을 사용한 학습을 통해 결정하였다. 그 결과는 SGLDM의 cluster shade와 decorrelation의 분산의 두 feature로 구성된 2차원의 feature 벡터가 면형 결합 분류에 효과적인 것으로 판단되었다.

패턴 인식을 위한 분류기는 Bayes 분류기를 사용하였는데 Bnyses 분류기는 잘못 분류율(misclassification) 확률을 극소화(minimize)하는 것을 목적으로 하는 분류기이다. Bnyses 분류기의 구분 함수는 (1)식으로 표시될 수 있다.

$$G_i(X) = \log g_i(X) = \log P(X|w_i) + \log P(w_i) \quad (1)$$

식(1)에서 X 는 feature 벡터를 나타내며, w_1, \dots, w_c 는 c 개의 부류(class)를 나타낸다.

이 때 식(1)에서 $P(X|w_i)$ 가 $N(\mu_i, \Sigma_i)$ 의 정규 분포를 갖는다고 가정하고 a priori 확률이 각 직물 결합에 대해 같다고 가정하면 (1)식은 (2)식으로 표현될 수 있다.

$$G_i(X) = -\frac{1}{2}(X - \mu_i)^T \Sigma_i^{-1} (X - \mu_i) - \frac{1}{2} \log |\Sigma_i| \quad (2)$$

식(2)에서 μ_i 와 Σ_i 는 각 직물 결합으로부터 추출된 feature의 평균과 covariance matrix를 나타내며 maximum likelihood estimator(MLE)로 추정하였다.

면형 결합의 분류는 검출된 결합으로부터 추출한 cluster shade와 분산의 두 feature로 feature 벡터를 구성하고 식(2)에 따라 구분 할수 $G_1(X), \dots, G_c(X)$ 를 계산하여 가장 큰 구분 함수 값을 갖는 직물 결합으로서 검출된 결합을 분류하는 방법으로 수행하였다.

표3.에는 이와 같은 방법으로 수행한 면형 결합 분류의 결과를 나타내었는데, 약 82.4% (14/17)의 정확도로 분류가 이루어짐을 알 수 있다.

표3. 면형 직물 결합 분류 결과

computer classification

	부 직 자	절 자	오 엽	소 기 자	종 사 이 자	저 타 자	호 재	계 절	지 합 률	위 사 결	계
veri fied	부 직 자	1			1			1			3
	절 자		2								2
	오 엽			4	1						5
	소기자					1					1
classifi cation	종사이자						1				1
	저타자							1			1
	호 재							1			1
	계 절								1		1
위 사 결	지 합 률								1		1
	위 사 결									1	1
	계	1	2	4	2	2	1	2	1	1	17

3.3 흩어진 형 결합의 분류

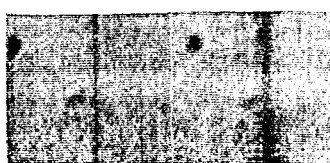
흩어진 형 결합의 분류는 이 형태의 결합들을 다시 그림5.와 같이 짧은 선(small line), 점선(dashed line), 그리고 흩뿌린 선(dispersed line) 형의 세 가지로 분류한 뒤, 검출된 결합을 이 세 형태 중의 하나로 분류하는 방법으로 수행하였다. 그 분류 방법은 형태에 따른 직물 결합 분류 방법과 같다.

흩어진 형 결합의 분류를 위한 complex는 다음의 네 가지 특징들로 구성된다.

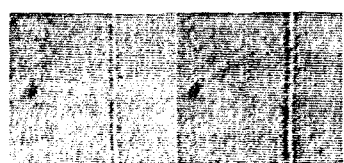
Pmax : 투사(projection)의 최대 크기(magnitude)
X#localmax : 크기 2이상의 X축 투사의 갯수
Y#localmax : 크기 2이상의 Y축 투사의 갯수
group : 투사 중 단절된 그룹(group)의 수

표4.는 complex를 정의하기 위하여 흩어진 형 결합 내의 세 가지 종류의 형태에 대한 투사의 특징들을 나누면 것으로, 이것으로부터 구한 complex는 다음과 같다. 이 때 XOR는 exclusive-OR를 의미한다.

- 짧은 선(small line) 결합 ;
[Pmax=Less than High][X#localmax XOR Y#localmax=1][# group=2]
- 점 선(dashed line) 결합 ;
[X#localmax XOR Y#localmax=1][# group= More than 2]
- 흩뿌린 선(dispersed line) 결합 ;
[X#localmax=More than or equal to 2]
[Y#localmax=More than or equal to 2]



(a) 종사오

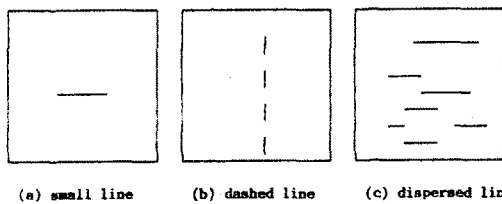


(b) 종사절



(c) 종사이

그림4. 디지타이즈된 수직선 형 직물 결합의 예



(a) small line (b) dashed line (c) dispersed line

그림5. 흩어진 형 결합의 제분류

표4. 흩어진 형 결합 분류를 위한 부사의 특징 비교

High : 부사가 가질 수 있는 최대 크기

* : don't care

	Pmax	X#localmax	Y#localmax	# group
small line	Less than High	1	0	2
		0	1	
dashed line	•	1	0	More than two
		0	1	
dispersed line	•	More than or equal to two	More than or equal to two	*

표5.는 입력 영상으로부터 구한 부사들 위에서 정의한 complex에 대입하는 방식으로 수행한 흩어진 형 직물 결합 분류 결과를 나타내며, 그 결과는 8개의 결합을 정확하게 정의된 형태로 분류학을 볼 수 있다. 그런데 흩어진 형 직물 결합 분류를 이와 같이 다시 그 형태를 재분류하는 방식으로 수행한 이유는 선형 결합과 마찬가지로 각 결합들 사이에 많은 유사성이 존재하고, 또 같은 결합 간에도 상대적인 많은 차이가 존재하기 때문이다.

표5. 그외의 형 직물 결합 분류 결과

computer classification				
	small line	dashed line	dispersed line	total
small line	2	0	0	2
dashed line	0	1	0	1
dispersed line	0	0	5	5
total	2	1	5	8

4. 결론

시각 장치를 사용한 직물 결합 검사에 관해 연구하였다. 직물 결합 검사는 직물 결합 검출, 결합의 형태에 따른 직물 결합 분류, 그리고 마지막으로 결합 판정이 계층적 구조로 수행하였다.

이들 중 결합 검출은 최고 98.7%의 인식율을 나타냈으며 [1], 일종의 predicate인 complex를 이용한 직물 결합의 형태 분류는 95.3%의 정확성을 나타냈다. 마지막으로 결합 판정은 면형 결합의 경우 82.4%의 인식율을 나타냈으나, 그 밖의 형태를 갖는 결합의 판정은 결합의 분류가 거시적으로 보이는 직물의 외관만으로는 불가능하여, 영상 처리 방법으로는 적당하지 않은 것으로 판단된다.

• 참고 문헌 •

- (1) 강 계현, 고 림삼, 이 상우, 이 범희, "시각 장치를 이용한 직물 결합 결합 인식에 관한 연구," 대한전기학회 창립 40주년 기념 학술 대회 논문집.
- (2) R.M.Haralick, K.Shamugam, and Its'hak Dinstein, "Textural Features for Image Classification," IEEE Trans. Syst., Man, Cybern., vol.SMC-3, No.6, pp. 610-621, nov. 1973.
- (3) L.S.Davis, S.A.Johns, and J.K.Aggarwal, "Texture Analysis Using Generalized Co-occurrence Matrices," IEEE Trans. Pattern Anal. Machine Intell., vol.PAMI-1, No.3, pp.251-258, July 1979.
- (4) O.D.Faugeras and W.K.Pratt, "Decorrelation Methods of Texture Feature Extraction," IEEE Trans. Pattern Anal. Machine Intell., vol.PAMI-2, No.4, pp.323-332, July 1980.
- (5) M.Pietikainen, A.Rosenfeld, and L.S.Davis, "Experiments with Texture Classification Using Averages of Local Pattern Matches," IEEE Trans. Syst., Man, Cybern., vol.SMC-13, No.3, pp.421-426, May/June 1983.
- (6) L.N.Kanal and A.Rosenfeld, Progress in Pattern Recognition, North-Holland Publishing Company, 1981.